

## Modelagem da dispersão de poluentes na atmosfera através da técnica GIADMT

Camila P. Costa<sup>1\*</sup>, Marco T. Vilhena<sup>1</sup>, Tiziano Tirabassi<sup>2</sup>,  
Davidson M. Moreira<sup>3</sup>

<sup>1</sup>PROMEC/UFRGS \* (bolsista CNPq)

<sup>2</sup>CNR/ISAC – Institute of Atmospheric Sciences and Climate - Italy

<sup>3</sup>Universidade Federal de Pelotas, UNIPAMPA – Bagé - Brasil

e-mail: camila@mecanica.ufrgs.br

### Resumo

Se apresenta a solução de uma equação que descreve um problema tridimensional difusivo-advectivo para simular a dispersão de poluentes na Camada Limite Planetária (CLP) através do método GIADMT (Generalized Integral Advection-Diffusion Multilayer Technique) bem como salientar os melhores resultados encontrados para a concentração na altura da fonte usando o algoritmo de *Talbot*.

### 1. Introdução

O método GIADMT (Costa et al. 2006) vem sendo empregado na resolução da equação de difusão-advectação tridimensional para simular o campo de concentração de poluentes na baixa atmosfera.

É um método que combina as bem conhecidas técnicas GITT cuja a idéia básica é encontrar a solução através de uma expansão em série, e ADMM, na qual a solução é determinada por uma integral de linha.

Devido a complexidade da integral de linha presente na solução encontrada pelo método GIADMT, devido a aplicação do ADMM, optou-se em resolvê-la numericamente, tornando assim, o GIADMT um método semi-analítico. Os resultados encontrados com a aplicação do GIADMT são bons, como pode ser comprovado nos trabalhos de Costa et al. 2006. Neste trabalho apresenta-se os melhores resultados encontrados para a concentração na altura da fonte usando o algoritmo de Talbot.

### 2. O modelo de poluição e solução via GIADMT

A equação de difusão-advectação tridimensional estacionária, que

modela a dispersão de poluentes na atmosfera pode ser escrita da seguinte forma:

$$u \frac{\partial c}{\partial x} = \frac{\partial}{\partial y} \left( K_y \frac{\partial c}{\partial y} \right) + \frac{\partial}{\partial z} \left( K_z \frac{\partial c}{\partial z} \right) \quad (1)$$

para  $0 < z < z_i$ ,  $0 < y < L_y$  e  $x > 0$ , onde  $c$  indica a concentração média,  $u$  a componente do vento médio na direção  $x$ ,  $K_y$  e  $K_z$  são os componentes cartesianos do coeficiente de difusão ( $z$  é a coordenada vertical).

Considera-se fluxo nulo na direção  $z$  no solo e no topo da CLP assim como na direção  $y$  em  $y=0, L_y$ , a fonte encontra-se na posição  $x=0$ ,  $z=H_s$  e  $y=y_o$ , descrita por  $uc(0,y,z) = Q\delta(z-H_s)\delta(y-y_o)$  onde  $Q$  é a taxa de emissão e  $\delta$  é a função delta de Dirac.

A solução do problema (1) é obtida pelo método GIADMT que faz uso de uma expansão em série, depois divide-se a CLP em  $N$  subcamadas obtendo-se um sistema de problemas que são resolvidos através da transformada de Laplace em  $x$  resultando numa equação diferencial ordinária que depende apenas de  $z$ . A concentração de poluentes é finalmente obtida aplicando a transformada inversa de Laplace, obtendo uma solução integral para o problema proposto:

$$\bar{c}_n(x, y, z) = \sum_{j=0}^{\infty} \frac{\Psi_j(y)}{\sqrt{N_j}} \frac{1}{2\pi i} \int_{i-\xi\infty}^{i+\xi\infty} e^{sx} \bar{c}_{nj}(s, z) ds \quad (5)$$

onde

$$\bar{c}_{nj}(s, z) = C_{1n} e^{R_{nj}z} + C_{2n} e^{-R_{nj}z} + \frac{Q}{2R_{anj}} \left( e^{R_{nj}(z-H_s)} - e^{-R_{nj}(z-H_s)} \right) H(z-H_s) \quad (6)$$

$$R_{nj} = \sqrt{\frac{su_n + K_{yn} \lambda_j^2}{K_{zn}}} ; R_{anj} = \frac{N_j^{1/2}}{\Psi_j(y_0)} \sqrt{K_{zn} (su_n + K_{yn} \lambda_j^2)} \quad e \quad N_j = \int_v \Psi_j^2(y) dy$$

(7)

$\Psi_j(y) = \cos(l_j y)$ , com  $\lambda_j = j\pi / L_y$ , são as autofunções e auto-valores, respectivamente do problema auxiliar de Sturm-Liouville (da GITT),  $\bar{c}_n$  é a concentração na  $n$ -ésima subcamada,  $C_{1n}$  e  $C_{2n}$  são as constantes de integração e  $H$  é a função de Heavisite. A parte da Eq. (6) na qual aparece a Heavisite é considerada somente na subcamada que contém a fonte.

Devido a complexidade da integral de linha presente na solução

(5), optou-se resolvê-la através métodos numéricos, no presente trabalho considerou-se tanto o método da *Quadratura Gaussiana* (Stroud and Secrest, 1966) como o algoritmo de *Talbot* (Abate and Valkó, 2004) porque segundo a literatura este método de *Talbot* fornece resultados com a precisão desejada.

### 2.1. Esquema da Quadratura de Gauss

$$\bar{c}_n(x, y, z) = \sum_{j=0}^{\infty} \frac{\cos(\lambda_j y)}{\sqrt{N_j}} \left[ \sum_{k=1}^{N_k} \frac{P_k}{x} w_k \bar{c}_{n_j}\left(\frac{P_k}{x}, z\right) \right] \quad (8)$$

onde  $w_k$  e  $P_k$ , são os pesos e as raízes da Quadratura respectivamente.

### 2.2. Algoritmo de Talbot

$$\bar{c}_n(x, y, z) = \sum_{j=0}^{\infty} \frac{\Psi_j(y)}{N_j^{1/2}} \left\{ \frac{r}{M^*} \left[ \frac{1}{2} \bar{c}_{n_j}(r, z) e^{rx} + \sum_{k=1}^{M^*-1} \operatorname{Re} \left[ e^{xs(\theta_k)} \bar{c}_{n_j}(s(\theta_k), z) (1 + i\tau(\theta_k)) \right] \right] \right\} \quad (9)$$

$$s(\theta_k) = r\theta(\cot\theta + i), \quad \tau(\theta_k) = \theta_k + (\theta_k \cot\theta_k - 1)\cot\theta_k, \quad \theta_k = \frac{k\pi}{M^*}, \quad -\pi < \theta < +\pi$$

onde  $r$  é um parametro experimental.

## 3. Resultados e conclusões

Para realizar as simulações do presente trabalho, utilizam-se os dados do experimento 8 de Copenhagen (Gryning and Lyck, 1984). Na Figura 1 é apresentado o gráfico do perfil vertical da concentração utilizando os esquemas numéricos de inversão aqui apresentados.

Observando a Figura 1a e 1b pode-se observar na altura da fonte (115m) uma melhora considerável dos resultados pelo método de *Talbot*. Portanto podemos afirmar que o método GIADMT com o algoritmo *Fixed Talbot* é um método eficiente para simulação de poluentes na atmosfera.

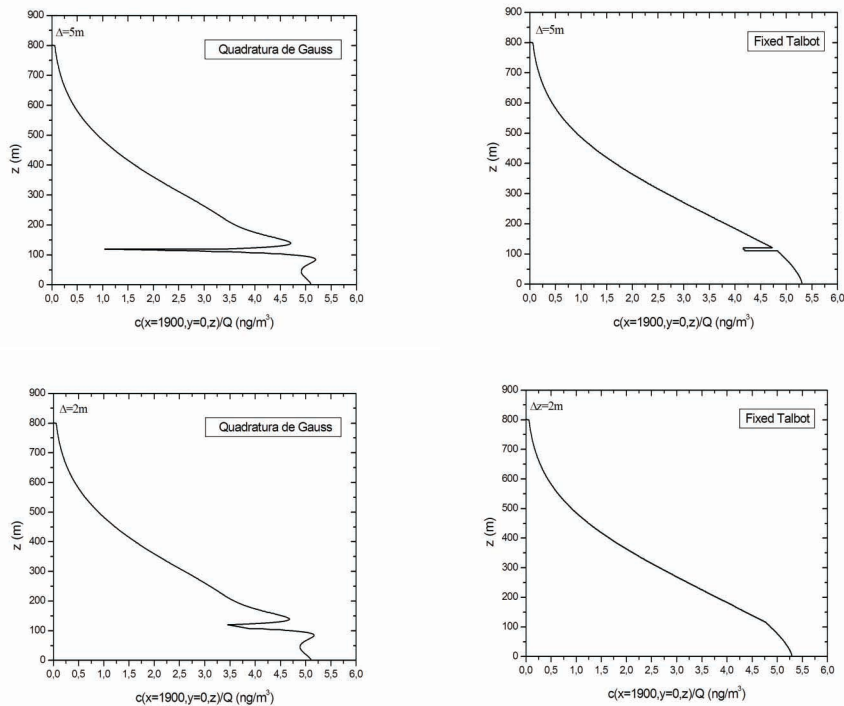


Figura 1. Perfil vertical da concentração a nível do solo ( $\mu g / m^3$ )

com  $\Delta z = 5m$  e  $\Delta z = 2m$ , utilizando os esquemas numéricos de inversão:

a) Quadratura de Gauss, b) Algoritmo de Talbot

#### 4. Referências

Abate, J. & Valkó, P.P. 2004. Multi-precision Laplace transform inversion. *International Journal for Numerical Methods in Engineering*, **60**, 979–993.

Costa, C.P., Vilhena, M.T., Moreira, D.M., Tirabassi, T. 2006 “Semi-analytical solution of the steady three-dimensional advection-diffusion equation in the planetary boundary layer”. *Atmos. Environ.* **40**, 5659–5669.

Gryning, S.E. and Lyck, E., 1984. Atmospheric dispersion from elevated sources in an urban area: comparison between tracer experiments and model calculations. *Amer. Meteor. Soc.* **23**, 651–660.

Stroud, A. H., and Secrest, D. *Gaussian Quadrature Formulas*. Prentice Hall, Inc., Englewood Cliffs, N. J. (1966).